

УДК 536.46:541.182

ПОЛУЧЕНИЕ И СВОЙСТВА ЭЛЕКТРОВЗРЫВНЫХ НАНОПОРОШКОВ СПЛАВОВ И ИНТЕРМЕТАЛЛИДОВ

А.П. Ильин, О.Б. Назаренко, Д.В. Тихонов, Г.В. Яблуновский

ФГНУ «НИИ высоких напряжений». г. Томск

E-mail: labor14@mail2000.ru

Исследован фазовый и химический состав нанопорошков, полученных с помощью совместного электрического взрыва проводников из разнородных металлов (медь и алюминий, железо и алюминий) и из сплава медь-никель с различным содержанием никеля. Показана возможность получения следующих интерметаллидов: Cu₉Al₄, CuAl₂, FeAl, Fe₂Al₅, FeAl₃, Cu_{3,8}Ni. Установлено, что повышение выхода интерметаллидов наблюдается при максимальном перемешивании компонентов, что достигается тесным контактом взрываемых проводников или использованием проводников в виде сплава.

Введение

Развитие техники и технологий постоянно требует новых материалов с необычными физико-химическими и физико-механическими свойствами. В этом плане значительный интерес представляют собой интерметаллические соединения (ИМС) – стехиометрические соединения между металлами. Некоторые ИМС обладают полупроводниковыми и сверхпроводящими, особыми магнитными и каталитическими свойствами, высокой твердостью, жаростойкостью [1]. В последнее время интерес к интерметаллидам возрос у физиков-теоретиков в связи с обнаружением особенностей их кристаллической структуры – осей симметрии 5-го, 10-го порядка и т.д., что противоречит классическим представлениям кристаллографии. Проблема синтеза интерметаллидов в нанодисперсном состоянии является актуальной в связи с расширением областей их применения.

Обычно ИМС синтезируют путем длительного выдерживания расплавов металлов при определенных температурах [2] или используют метод самораспространяющегося высокотемпературного синтеза (СВС). При этом получаются в лучшем случае грубодисперсные порошки интерметаллидов.

Технология электрического взрыва проводников (ЭВП) в инертных газах позволяет синтезировать ИМС и сплавы в нанодисперсном состоянии, что является существенным ее преимуществом. Процесс ЭВП характеризуется большой плотностью мощности энергии ($>10^{14}$ Вт/с) и быстрым нагревом ($>10^7$ К/с) проводника до высоких температур ($>10^4$ К) [3]. При синтезе ИМС из разнородных металлов для метода ЭВП не является препятствием тугоплавкость отдельных исходных металлов и большая разница в их температурах плавления и кипения.

Ранее были исследованы морфология, фазовый состав и динамика окисления порошков, полученных в различных условиях электрического взрыва латунных проволочек [4]. Было обнаружено, что частицы этих порошков являются фазово-неоднородными: поверхность частиц была покрыта оксидом цинка, содержание более тугоплавкого компонента (меди) возрастало от периферии частиц к их центру. В соответствии с известной закономерностью ЭВП [5–7] увеличение введенной в провод-

ник энергии сопровождалось ростом дисперсности порошков и увеличением доли исходной α -фазы латуни, обедненной цинком.

Целью данной работы являлось установление закономерностей синтеза нанопорошков (НП) интерметаллических соединений в условиях ЭВП, их дисперсности, фазового и химического состава.

Материалы и методики экспериментов

Сущность метода получения НП сплавов и ИМС при использовании проводников из разнородных металлов (пары медь и алюминий, железо и алюминий) заключается в том, что во взрывную камеру подаются заготовки из металлов, соединения которых предполагается получить, и проводится их совместный электрический взрыв в инертной среде. В процессе разлета продукты взрыва смешиваются и реагируют между собой. Совместные взрывы проводников одинаковой длины проводились при их параллельном расположении. В случае разных длин проводников взрывался «жгут», когда на одну или несколько проволочек из одного металла наматывались остальные с равномерным шагом намотки. В экспериментах изменялись: расстояние между проводниками при их параллельном расположении, соотношение масс взрываемых заготовок, энергия, введенная в систему проводников, и энергия дуговой стадии электрического взрыва.

Для исследования возможности образования интерметаллидов в условиях ЭВП из сплавов Cu-Ni использовались проводники диаметром 0,3 мм с содержанием никеля 45, 23, 12 и 6 мас. %. Образцы порошков получали при одном и том же зарядном напряжении, равном 24 кВ.

Взрывы проводились в среде аргона при давлении 200 кПа на опытно-промышленной установке, структурная схема которой показана на рис. 1. Анализу подвергали порошок, осевший в специальном сборнике и прошедший пассивацию в среде аргона с контролируемым напуском воздуха. При этом не допускалось разогрева образца. Процесс пассивации обычно заканчивался через 10 сут.

Фазовый и химический состав НП ИМС проводился с помощью рентгеновского дифрактометра ДРОН-3,0 с использованием CuK α -излучения

трубки и методом рентгеновской фотоэлектронной спектроскопии (РФЭС) на растром электронном микроскопе JSM-840 в режиме микроанализа. Характерные размеры частиц определялись с помощью просвечивающего микроскопа ЭММА-4.

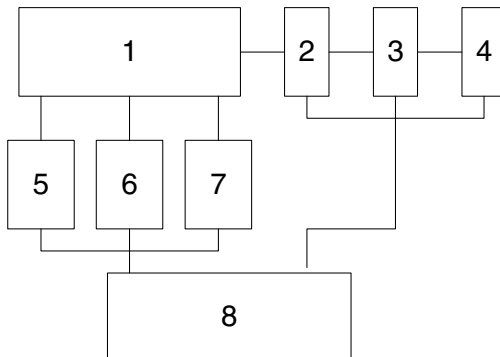


Рис. 1. Структурная схема опытно-промышленной установки: 1) взрывная камера с механизмом подачи проводника; 2) разрядник; 3) емкостной накопитель энергии; 4) зарядное устройство; 5) вакуумная система; 6) система заполнения установки рабочим газом; 7) устройство отделения продуктов взрыва от рабочей среды; 8) пульт управления

Результаты и обсуждение

1. Система Cu-Al. Данные рентгенофазового анализа (РФА), микроанализа, а также сведения о размерах и форме частиц приведены в табл. 1. Согласно данным электронной микроскопии частицы нанопорошков имеют сферическую или сферическую с легкой огранкой форму. Дисперсность порошков находится в пределах от 0,02 до ед. мкм. Согласно данным просвечивающей микроскопии наблюдаются частицы трех видов – светлые; темные; с рыхлой поверхностью и более плотной центральной частью, с четкой границей раздела между ними. Слой рыхлой составляющей, вероятнее всего, связан с оксидно-гидроксидной оболочкой на поверхности частиц, образующейся при пассивации порошков в аргоне добавками воздуха. Наличие значительной доли оксида-гидроксида, по-видимому, связано с неустойчивостью полифазной системы, образовавшейся при ЭВП, т.к. возможно образование гальванопар, ускоряющих окислительные процессы при пассивации.

Соотношение Cu:Al в проводниках для образцов 1–4 составило 31,78:68,22 (ат. %), а для образца 5 – 22,54:77,46 (ат. %). Из результатов микроанализа (площадь зондирования образца 300 мкм²) следует, что поверхностные и приповерхностные атомарные слои частиц обогащены медью (67,29...75,94 ат. % по сравнению с 31,78 ат. % в исходных проводниках). Это можно объяснить явлением конкурентной диффузии Al к центру частицы в процессе ее охлаждения, которая происходит с поверхности. Микронные частицы (площадь зондирования 10 мкм²) имеют преобладающее содержание как одного, так и другого компонента (образцы 1 и 3, табл. 1). Субмикронные частицы (площадь зондирования

0,5 мкм²) имеют более однородный состав вследствие их формирования из паровой фазы и лучшего перемешивания компонентов. Низкое содержание меди в микронной частице (образец 3, табл. 1) по сравнению с частицами субмикронного диапазона объясняется случайным выбором и возможностью образования крупных капель размером до десятка мкм за счет конфигурационных концевых эффектов при ЭВП [8], что затрудняет перемешивание первичных продуктов взрыва и приводит к неоднородности состава конечных продуктов.

Таблица 1. Результаты микроанализа, фазовый состав и макроструктурные характеристики порошков, полученных при ЭВП в системе Cu-Al

№ образца	Расстояние между Cu и Al проводниками, мм	Состав поверхности частиц, ат. %			Фазовый состав по РФА
		Общий анализ по порошку	Микронная частица	Субмикронная частица	
1	0	Cu – 75,94 Al – 22,49	Cu – 91,85 Al – 7,19	Cu – 68,02 Al – 30,36	Al, Cu, Cu ₃ Al ₄
2	100	Cu – 77,47 Al – 20,06	Cu – 74,74 Al – 23,30	Cu – 72,29 Al – 26,52	Al, Cu
3	5	Cu – 67,29 Al – 29,69	Cu – 9,55 Al – 89,90	Cu – 74,93 Al – 22,65	Al, Cu, Cu ₃ Al ₄ , CuAl ₂
4	0	Cu – 74,54 Al – 23,35	Cu – 69,28 Al – 30,30	Cu – 74,82 Al – 22,05	Al, Cu, Cu ₃ Al ₄ , CuAl ₂
5	0	Cu – 67,45 Al – 28,60	Cu – 73,49 Al – 23,77	Cu – 65,28 Al – 32,34	Al, Cu, Cu ₃ Al ₄ , CuAl ₂

РФА дает интегральную картину образца при глубине зондируемого слоя несколько мм, тогда как методом РФЭС анализируется поверхностный и приповерхностный слои глубиной в несколько десятков Å. Результаты РФА в зависимости от исходных параметров ЭВП – отношения энергии e_c , введенной в проводник до взрыва, к энергии сублимации материала проводника e_d (e_d/e_c), отношения энергии дуговой стадии e_d к энергии сублимации материала проводника e_c (e_d/e_c) и расстояния между алюминиевым и медным проводниками приведены в табл. 2. Из данных табл. 2 видно, что ИМС образуются при введенной энергии как менее энергии сублимации взываемых проводников (образец 1, табл. 2), так и более энергии сублимации (образцы 3–5, табл. 2). Увеличение e_d/e_c (от 1,0 до 1,5) при одновременном увеличении e_d/e_c (от 1,2 до 6,0) приводит к увеличению относительного выхода Cu₃Al₄ при неизменном выходе CuAl₂ (образцы 1 и 4, табл. 2). Увеличение расстояния между проводниками с 0 до 5 мм при введенной энергии, равной (1,4...1,5) e_c , и при $e_d/e_c=6,0...6,1$ ведет к уменьшению выхода Cu₃Al₄ и к увеличению выхода CuAl₂ (образцы 3 и 4, табл. 2), а при расстоянии 100 мм ИМС в образцах не обнаружены (образец 2, табл. 2). При введенной энергии 1,5 e_c увеличение e_d/e_c способствует уменьшению выхода CuAl₂ (образцы 4 и 5, табл. 2).

Таблица 2. Состав продуктов, полученных при ЭВП в системе Cu-Al

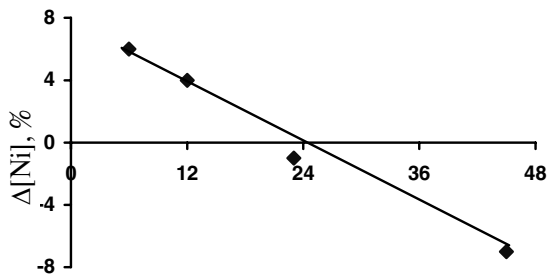
№ об-разца	Расстояние между Cu и Al проводниками, мм	e/e_c	e_d/e_c	Интенсивности 100 %-ных рефлексов на рентгеновских дифрактограммах, %			
				Al	Cu	Cu_3Al_4	CuAl_2
1	0	1,0	1,2	31,8	42,0	100,0	23,9
2	100	1,4	6,0	31,0	100,0	—	—
3	5	1,4	6,1	73,2	100,0	93,6	26,4
4	0	1,5	6,0	39,0	30,7	100,0	16,6
5	0	1,5	2,1	46,9	40,1	100,0	44,2

2. Система Fe-Al. Железо и алюминий образуют интерметаллиды: FeAl_3 , Fe_2Al_7 , Fe_2Al_5 , FeAl_2 , FeAl , Fe_3Al . В табл. 3 приведены условия взрыва, результаты рентгеновской фотоэлектронной спектроскопии и микроструктурные характеристики полученных нанопорошков. Согласно РФА фазовый состав продуктов ЭВП железных и алюминиевых проводников достаточно сложен и изменяется при окислении в воздухе, что затрудняет отнесение рефлексов на рентгенограммах к конкретным фазам. Вероятно, в продуктах ЭВП присутствуют несколько интерметаллидов: FeAl , FeAl_3 , Fe_2Al_5 , которые в воздухе окисляются уже при комнатной температуре. Согласно данным электронной микроскопии частицы образцов имеют сферическую форму, сильно агломерированы.

Таблица 3. Результаты микронализа и микроструктурные характеристики порошков, полученных при ЭВП в системе Fe-Al

№ образца	Соотношение Al/Fe в проводниках, ат. %	e/e_c	e_d/e_c	Состав поверхности частиц, ат. %			Размер частиц, мкм
				Общий анализ порошка	Микронная частица	Субмикронная частица	
1	86/14	2,0	0,2	Al – 49,7 Fe – 40,3 W – 5,9 Cu – 4,0	Al – 37,6 Fe – 60,5 W – 1,0 Cu – 0,9	Al – 58,2 Fe – 36,0 W – 4,3 Cu – 1,5	0,02...3,0
2	86/14	0,7	1,3	Al – 53,5 Fe – 40,5 W – 3,1 Cu – 2,9	Al – 80,8 Fe – 18,1 W – 0,2 Cu – 0,9	Al – 62,9 Fe – 33,9 W – 1,6 Cu – 1,6	0,02...6,0
3	12/88	1,2	0,7	Al – 2,8 Fe – 94,4 W – 1,2 Cu – 1,1 Mn – 0,4	Al – 4,7 Fe – 94,7 W – 0,2 Cu – 0,4 Mn < 0,1	Al – 2,6 Fe – 95,9 W – 0,4 Cu – 1,1 Mn – 0,1	0,02...5,0
4	24/76	1,2	0,5	Al – 3,6 Fe – 94,9 Cu – 1,3 Mn – 0,2	Al – 3,5 Fe – 95,2 Cu – 1,1 Mn – 0,3	Al – 5,4 Fe – 93,1 Cu – 1,3 Mn – 0,2	0,02...4,0
5	24/76	1,5	2,0	Al – 4,4 Fe – 89,9 Cu – 5,74	Al – 3,9 Fe – 93,5 Cu – 2,5 Mn – 0,4	Al – 8,3 Fe – 59,7 Cu – 1,6 Mn – 0,4	0,02...4,0

3. Система Cu-Ni. РФА продуктов ЭВП из сплавов Cu-Ni с различным содержанием компонентов показал, что частицы содержат одну фазу – интерметаллид состава $\text{Cu}_{3,8}\text{Ni}$. По данным РФЭС соотношение Cu:Ni в поверхностных и приповерхностных слоях частиц изменяется, причем для частиц, полученных из проводников из сплавов Cu-Ni(6 %) и Cu-Ni(12 %) содержание никеля увеличилось, а для сплавов Cu-Ni(23 %) и Cu-Ni(45 %) соотношение Cu:Ni уменьшилось (рис. 2). При соотношении Cu:Ni ~ 4:1, как в интерметаллиде, состав поверхности будет соответствовать данным РФА нанопорошков и соотношению Cu:Ni в исходном проводнике. При образовании интерметаллида и при обогащении ($+Δ[\text{Ni}]$) или обеднении ($-Δ[\text{Ni}]$) поверхностных слоев никелем избыточные количества меди, вероятно, находятся в центре частиц, и рентгеновское излучение после дифракции, по крайней мере, поглощается внешним слоем интерметаллида.



[Ni] в исходном проводнике, мас. %

Рис. 2. Изменение содержания никеля в поверхностных и приповерхностных слоях наночастиц от его содержания в исходных проводниках

Выводы

- При совместном электрическом взрыве проводников из различных материалов или при взрыве проводников из сплавов образуются интерметаллиды определенного состава. Полученные порошки полидисперсны, содержат фракцию наночастиц. Ранее неизвестных интерметаллидов для систем Cu-Al, Fe-Al и Cu-Ni не обнаружено.
- Установлено, что наибольший выход интерметаллидов наблюдается при максимальном перемешивании компонентов – первичных продуктов электрического взрыва, которое обеспечивается при тесном контакте взрываемых проводников. Поэтому целесообразно для получения с помощью электрического взрыва нанопорошков интерметаллидов использовать биметаллические проводники или сплавы.
- Для изученных пар металлов увеличение введенной в проводник энергии и энергии дуговой стадии разряда приводит к росту выхода интерметаллидов.

СПИСОК ЛИТЕРАТУРЫ

1. Итин В.И., Найбороденко Ю.С. Высокотемпературный синтез интерметаллических соединений. – Томск: НИИ ПММ, 1989. – 214 с.
2. Ramakrishan K.N. Investigation of the effect of powder particles size distribution on the powder microstructure and mechanical properties of consolidated material made from a rapidly solidified Al-Fe-Cu alloy // Material characterization. – 1994. – V. 33. – № 2. – P. 129–134.
3. Бурцев В.А., Калинин Н.В., Лучинский А.В. Электрический взрыв проводников и его применение в электрофизических установках. – М.: Энергоатомиздат, 1990. – 288 с.
4. Ляшко А.П., Савельев Г.Г., Тихонов Д.В. Морфология, фазовый состав и окисление порошков, полученных электрическим взрывом латунных проволочек // Физика и химия обработки материалов. – 1992. – № 6. – С. 127–130.
5. Котов Ю.А., Яворовский Н.А. Исследование частиц, образующихся при электрическом взрыве проводников // Физика и химия обработки материалов. – 1978. – № 4. – С. 24–29.
6. Kwon Y.S., Ilyin A.P., Tikhonov D.V., Nazarenko O.B., Yablonovskii G.V. Current status and future development of the electroexplosive technology // KORUS'2003: Proc. of the 7th Korea-Russia Intern. Symp. on Science and Technology. – Ulsan, 2003. – V. 1. – P. 175–178.
7. Ильин А.П., Назаренко О.Б., Скоропад Л.В. Анализ способов повышения дисперсности электровзрывных нанопорошков // Физико-технические проблемы атомной энергетики и промышленности (Производство, наука, образование): Тез. докл. Междунар. научно-практ. конф. – Томск: Изд-во ТПУ, 2004. – С. 102.
8. Волков В.М., Шайкевич И.А. Изучение конфигурационных концевых эффектов при электрическом взрыве проводников // Известия вузов. Физика. – 1975. – № 7. – С. 138–139.

УДК 621.762

ЭЛЕКТРОРАЗРЯДНОЕ СПЕКАНИЕ ЖЕЛЕЗО-ТИТАНОВОГО АНТИФРИКЦИОННОГО СПЛАВА

С.В. Матренин, А.И. Слосман, Ю.В. Мячин

Томский политехнический университет

E-mail: slosmsn@tpu.ru

Показана возможность получения антифрикционного железо-титанового сплава путем спекания соответствующих порошков в плазме тлеющего разряда. Исследованы закономерности уплотнения материала при спекании и физико-механические свойства спеченных образцов в зависимости от способа введения в шихту титана и условий спекания. Обнаружено значительное упрочнение поверхностного слоя образцов, спеченных в аммиачной плазме тлеющего разряда. Установлен оптимальный режим спекания железо-титанового сплава.

Порошковые антифрикционные материалы предназначены для производства изделий с низкими потерями на трение, у которых коэффициент трения обычно $\leq 0,3$. Такие материалы работают, в основном, при ограниченной смазке, скоростях скольжения ≤ 6 м/с и давлениях ≤ 25 МПа. При производстве антифрикционных материалов им придается свойство самосмазываемости путем пропитки пор маслами. Их структура должна отвечать правилу Шарпи, т.е. представлять собой сочетание твердых и более мягких структурных составляющих, причем мягкой составляющей в таких антифрикционных материалах являются поры, заполненные маслом, обладающие нулевой твердостью. Такие материалы имеют хорошую прирабатываемость и приемлемые трибологические характеристики.

Одной из важнейших задач в технологии антифрикционных материалов является повышение их физико-механических свойств, особенно износостойкости [1]. Для регулирования свойств антифрикционного материала в шихту часто вводят различные добавки, что приводит к гетерогенизации структуры [2]. Так, введение включений твердой фазы в пластическую металлическую матрицу позволяет добиться оптимального распределения напряжений, когда нагрузка передается на твердые составляющие структуры, имеющие более низкие коэффициенты трения и не изнашивающие существо-

ственно шейку вала. При этом прирабатываемость обеспечивается пластической матрицей.

В данной работе исследовалась возможность применения спекания железотитановых антифрикционных сплавов в плазме тлеющего разряда. При этом происходит существенная активация процесса спекания [3] и упрочнение поверхностного слоя за счет образования в нем нитридов.

Интенсивный нагрев прессовок, обеспечивающий их спекание, возможен в области аномального тлеющего разряда на участке возрастающей вольтамперной характеристики. Для обеспечения устойчивости тлеющего разряда и предотвращения перехода его в дуговой в электрическую схему вводится регулируемое балластное сопротивление. Нагрев до требуемой температуры, изотермическая выдержка и охлаждение достигаются регулированием разности потенциалов между катодом и анодом, а также изменением давления газа внутри камеры. При этом изменяется ионный ток. Если газ содержит азот, то процесс нагрева материала в тлеющем разряде может сопровождаться азотированием, что приводит к повышению твердости, износостойкости и усталостной прочности поверхностного слоя.

Исследования проводили на антифрикционном материале, содержащем 95 мас. % Fe и 5 мас. % Ti. Железный порошок достаточно широко использует-